

稀土区变形偶-偶核 E_4 特性的 微观研究*

王 振

(苏州大学物理系)

吴 华 川

(苏州大学物理系, 中国科学院理论所)

摘 要

本文通过用 BCS 方法对稀土区变形偶-偶核的内禀十六极矩 (Q_{40}) 随质量数的变化规律的研究, 表明了对关联对于解释这种变化规律是十分重要的. 对内禀系中 Cooper 对的分析表明, 角动量为 4 的核子对 (G 对) 的成份虽然不大, 但其对 Q_{40} 的贡献是十分重要的.

一、引 言

稀土区变形偶-偶核的内禀十六极矩 (Q_{40}) 和内禀四极矩 (Q_{20}) 已在实验上精确地测出^[1-3]. 由图 1(a) 和(b)可以看出, Q_{40} 及 Q_{20} 随质量数的变化在整体上很有规律性. Bertsch 用 Polar Cap Model (PCM)^[4] 对上述规律作出了定性的解释; 本文作者之一也用 IBM 理论唯象地进行了讨论^[5].

按 PCM 的结论, Q_{40} 及 Q_{20} 随核子数的变化规律由下列积分描写:

$$Q_{40} \sim \int_{\mu}^1 P_4(x) dx, \quad (1.1)$$

$$Q_{20} \sim \int_{\mu}^1 P_2(x) dx, \quad (1.2)$$

上式中的被积函数 $P_4(x)$ 及 $P_2(x)$ 是勒让德多项式; $\mu = \cos\theta$, θ 为所填核子轨道与对称轴之间的最大夹角(由粒子数 N_0

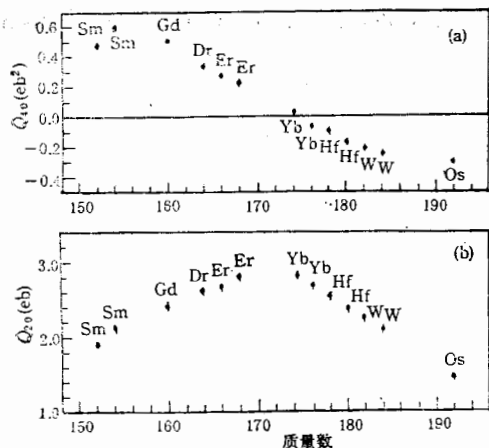


图 1 (a)、(b) 稀土区变形偶-偶核的 Q_{40} 及 Q_{20} 实验数值. 数据取自文献 [1].

本文 1989 年 7 月 3 日收到.

* 国家自然科学基金会资助课题.

确定)。PCM 的缺点是它没有考虑核子之间的对关联。本文拟用 BCS 方法对 Q_{40} 及 Q_{20} 进行计算, 并将其结果与 PCM 的结果进行比较, 从而阐明核子间对关联对 Q_{40} 及 Q_{20} 的影响。BCS 理论的缺陷是粒子数不守恒, 因而其计算结果只能反映若干相邻核素之平均性质^[6]。由于本文的重点在于研究 Q_{40} 及 Q_{20} 随质量数变化的总体规律, 因而 BCS 的这一缺陷就显得并不重要。

另一方面, IBM 微观理论中一个重要问题是关于角动量为 4 的核子对 (G 对) 的重要性。在这方面已有不少作者^[7-9, 11]作过研究, 其结果表明: 尽管 G 对的几率较小, 但它对于解释四极矩、转动惯量等物理量是至关重要的。然而, 人们还一直企图寻找关于 G 对重要性的更直接的证据。因为 Q_{40} 对应于十六极形变, 它与 G 对之间存在着内在的联系, 因而有理由期望对 Q_{40} 的规律性的分析会为 G 对的重要性提供更直接的证据。

本文的第二部分讨论核子对关联对 Q_{40} 及 Q_{20} 的影响; 第三部分研究 G 对对 Q_{40} 的贡献; 第四部分讨论粒子数投影问题; 最后给出结论和讨论。

二、对关联对 Q_{40} 及 Q_{20} 的影响

由于本文的主要兴趣在于 Q_{40} 及 Q_{20} 随质量数变化的总体规律, 因而在计算中拟采用单 j 模型。在 IBM 的微观研究中, 单 j 模型在球形核区域^[10]及变形核区域^[11], 对 IBM 微观参数总体规律均给出了具有一定精确程度的描写。参照 Otsuka^[11]的作法, 取 $j = \frac{41}{2}$ (j 的这一取值可视为质子壳与中子壳的某种平均情形)。图 1(a) 和 (b) 中所列的核素, 虽然形变不尽相同, 但都处于变形区, 作为初步近似, 对所论的核素, 将变形参数取为恒定。于是, 单粒子能级可由下式确定:^[11]

$$\varepsilon_m = 8\delta \left[3 \left(\frac{m}{j} \right)^2 - 1 \right], \quad (2.1)$$

上式中 δ 为变形参数, 对于稀土区核, δ 的值可近似取为 0.3^[11]; m 为角动量在内禀对称轴上的投影量子数。当对力强度 G_0 及粒子数 N_0 给定时, 用 BCS 方法就可确定能隙 Δ 及费米面能量 λ , 从而 v_m^2 及 u_m^2 可由下式确定:

$$v_m^2 = \frac{1}{2} [1 - (\varepsilon_m - \lambda) / \sqrt{(\varepsilon_m - \lambda)^2 + \Delta^2}], \quad (2.2)$$

$$u_m^2 = \frac{1}{2} [1 + (\varepsilon_m - \lambda) / \sqrt{(\varepsilon_m - \lambda)^2 + \Delta^2}], \quad (2.3)$$

式中 v_m^2 代表能级 ε_m 被粒子对填充的几率, u_m^2 代表能级 ε_m 空着的几率。这样核的基态波函数 (BCS 波函数)

$$|0\rangle\rangle = \prod_m (u_m + v_m s_m^\dagger) |0\rangle \quad (2.4)$$

即可被确定; 式中 $s_m^\dagger = b_m^\dagger b_m^\dagger$, 是粒子对产生算符。在单 j 的情形下, 根据电多极矩的定义可得:

$$\hat{Q}_{40} = \langle j || e r^4 Y_4 || j \rangle \sum_m (jm40 | jm) a_m^\dagger a_m,$$

$$\hat{Q}_{20} = \langle j || e r^2 Y_2 || j \rangle \sum_m (jm20 | jm) a_m^+ a_m,$$

其中 $\langle j || e r^2 Y_4 || j \rangle$ 及 $\langle j || e r^2 Y_2 || j \rangle$ 为约化矩阵元^[6]. 在核内禀基态情况下不难得出:

$$Q_{40} = 2 \langle j || e r^4 Y_4 || j \rangle \sum_m (jm40 | jm) v_m^2, \quad (2.5)$$

$$Q_{20} = 2 \langle j || e r^2 Y_2 || j \rangle \sum_m (jm20 | jm) v_m^2. \quad (2.6)$$

为了研究对力强度对 Q_{40} 及 Q_{20} 总体规律的影响, 我们分别取 G_0 为 0.0 和 0.2 进行计算. 不同 G_0 之下 Q_{40} 及 Q_{20} 随 μ 的相对变化关系如图 2 所示 ($\mu = N_0/2(Q-1)$,

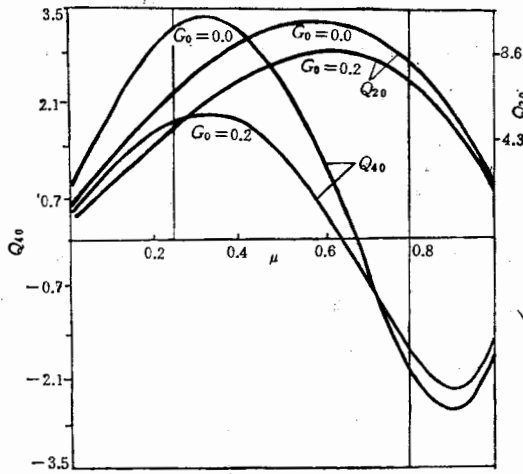


图 2 对力强度 G_0 对 Q_{40} 及 Q_{20} 随 μ ($\mu = N_0/2(Q-1)$) 变化规律的影响.

来判定与实验符合的好坏. 由图 1 可确定出交点处的 μ 值约为 0.61, 将图 2 中 $0.25 < \mu < 0.8$ 的区域与图 1(a) 进行比较可以看出: G_0 取 0.0 时 Q_{40} 与横轴交点的位置与 0.6 偏离较远, 而 G_0 取 0.2 时 Q_{40} 与横轴交点的位置则很接近 0.61 的位置. 这说明了对于稀土区核而言, 对关联的影响是很大的; 同时也说明了作为定性的讨论, G_0 取 0.2 是比较恰当的, 这亦与其它作者的结论相符^[12-13].

不难证明, PCM 是 BCS 理论在 $G_0 = 0$ 时的特殊情形. 当 G_0 为零时, (2.2) 式变成:

$$\begin{cases} v_m^2 = 1 & \epsilon_m < \lambda \\ v_m^2 = 0 & \epsilon_m > \lambda \end{cases}$$

(Normal Phase). 设所填充的核子对数为 M , 则有:

$$Q_{40} \sim 2 \sum_{m=\frac{1}{2}}^{M-\frac{1}{2}} (jm40 | jm)$$

$$Q_{20} \sim 2 \sum_{m=\frac{1}{2}}^{M-\frac{1}{2}} (jm20 | jm)$$

$Q = (2j+1)/2$, 图 1 中稀土区元素的 μ 值范围为 0.25—0.8). 应当指出, 在核子填充主壳层的开始端 ($\mu < 0.25$) 和结束端 ($\mu > 0.8$), 由于价核子数与满壳偏离较小, 核应接近球形状态, 这与本文计算中采用的假定 (变形核) 相矛盾, 因而其结果没有物理意义. 随着核子数偏离满壳较远, 所论的核由球形过渡到有固定形变, 这相当于 $\mu = 0.25-0.8$ 的区域, 在此区域中本文的模型是适用的. 由图 2 可以看出, Q_{40} 曲线的最大特点是与横轴相交, 交点是 Q_{40} 值由正变为负的转变点, 因而该点的位置对检验模型极为敏感. 我们可根据这一交点的位置

当 j 很大时, C-G 系数可作如下的近似^[11]:

$$(jmJ0|jm) \approx P_j(m/j), \quad (2.7)$$

其中 P_j 为勒让德多项式(当 J 取 0、2、4 时, P_j 的变化规律如图 3 所示). 在这样的近似下即可得到 PCM 的结论.

对力的影响, 可通过费米面附近能级上的粒子分布情况发生的变化来说明. 对力产生的影响是: 费米面以下能级的核子占有率减小, 而费米面以上的能级的占有率增大, 并且随着 G_0 的增加, 这种变化也增大. 图 3 中 P_4 在整个区间的变化可分成两个部分: 在 AC 段, 随着 m/j 的增大, P_4 逐渐下降, 这就使得费米面下能级占有率减小所引起的 Q_{40} 的减小值大于费米面上能级占有率的增加所引起的 Q_{40} 的增加值, 因而在这个区间 $G_0 \approx 0$ 的 Q_{40} 值小于 $G_0 = 0$ 的 Q_{40} 值; 在 CE 段, P_4 单调上升, 使得费米面上能级占有率增大所引起的 Q_{40} 的增加值大于费米面下能级占有率减小所引起的 Q_{40} 的减小值, 故在这个区间, $G_0 \approx 0$ 的 Q_{40} 值大于 $G_0 = 0$ 的 Q_{40} 值. 对于 Q_{20} 的变化规律可利用 P_2 在整个区间随 m/j 单调上升的事实加以解释.

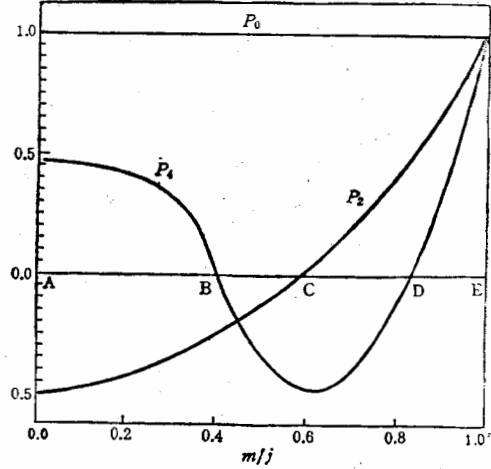


图 3 勒让德多项式 P_0 、 P_2 、 P_4 随 $\frac{m}{j}$ 的变化规律

三、 G 对 Q_{40} 的贡献

为了研究对结构, 我们讨论 BCS 波函数中粒子数为 N_0 的部分 (“物理的”波函数).

$$|N_0\rangle = N^{-1} \left[\sum_{m>0} \left(\frac{v_m}{u_m} \right) b_m^+ b_m^+ \right]^{\frac{N_0}{2}} |0\rangle = N'^{-1} (\Lambda^+)^{\frac{N_0}{2}} |0\rangle, \quad (3.1)$$

其中

$$\Lambda^+ = \sum_m c_m b_m^+ b_m^+, \quad (3.2)$$

$$c_m \sim \frac{v_m}{u_m}, \text{ 且保证 } \langle 0 | \Lambda \Lambda^+ | 0 \rangle = 1$$

N, N' 为归一化常数, Λ^+ 称为内禀系中的 Cooper 对^[11]. 将 Λ^+ 按角动量进行展开有:

$$\Lambda^+ = \sum_J X_J a^{+(J)}, \quad (3.3)$$

其中 $a^{+(J)} = \frac{1}{\sqrt{2}} [b_j^+ b_j^+]^{(J)}$ 表示角动量为 J 的核子对, X_J 为其振幅. 不难推得, 对于单 j 轨道有:

$$X_j = \sum_m \sqrt{2} c_m (jmj - m | J0) (-1)^{j-m}, \quad (3.4)$$

$$c_m = \sum_j \sqrt{2} X_j (jmj - m | J0) (-1)^{j-m}, \quad (3.5)$$

表1列出了不同 N_0 之下的 X_4^2 之值,由表1可以看出,对于变形核而言, X_4^2 小于 8%,这说明变形核中 G 对的成分是非常小的。

表1 G 对的几率

N_0	12	16	20	24	28	32
X_4^2	0.0785	0.0792	0.0731	0.0595	0.0388	0.017

我们就核子对空间的各种不同截断方式(即令较高 J 之系数为零)下的 Q_{40} 值进行比较以研究 G 对的贡献。具体的截断方式如下:

截断方式	不为零的 X_j 值
全空间(不截断)	$X_0, X_2, X_4, X_6, \dots$
SDG 空间	X_0, X_2, X_4
SD 空间	X_0, X_2

取对力强度为 0.2 分别在全空间、SDG 空间、SD 空间计算,各空间中 Q_{40} 随 μ 变化的规律

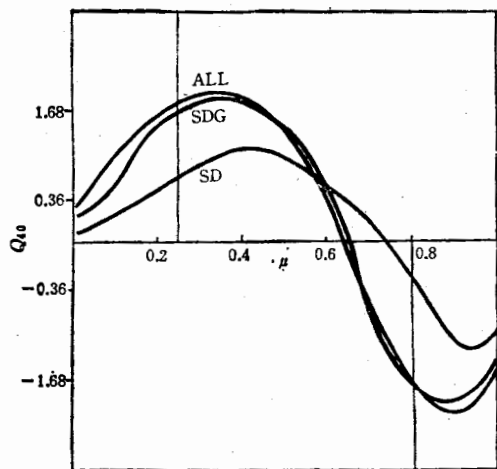


图4 各种截断方式中 Q_{40} 随 μ 变化的规律
计算中 G_0 取 0.2.

如图4所示。由图可以看出,在 $0.25 < \mu < 0.8$ 的区间中,SD 空间中的计算结果与全空间中的计算结果相差很大。而当考虑 G 对后,计算结果与在全空间中的计算结果很接近。因为 G 对与 Q_{40} 之间存在着内在联系,上述结果可视为 G 对重要性的较直接的证据。

上述数值计算结果,可以定性地说明如下。由(2.7)式有:

$$c_m \approx \sum_j \sqrt{2} X_j [(2J+1)/(2j+1)]^{\frac{1}{2}} \cdot P_j(m/j),$$

并可得

$$c_m^{\text{SDG}} \approx c_m^{\text{SD}} + \sqrt{\frac{3}{7}} X_4 P_4(m/j).$$

其中 c_m^{SDG} 和 c_m^{SD} 分别为 c_m 在 SDG 及 SD 空间中的近似。(3.4)式的计算结果表明, X_4 均大于零,则由图3中 P_4 的变化规律可得

$$\text{在 } AB、DE \text{ 区间: } c_m^{\text{SDG}} > c_m^{\text{SD}}$$

$$\text{在 } BD \text{ 区间: } c_m^{\text{SDG}} < c_m^{\text{SD}}$$

而 c_m 与能级 ϵ_m 的占有率 ν_m^2 相对应,由此可见 SD 空间与 SDG 空间的差别在于各能级的占有率 $(\nu_m^2)^{\text{SD}}$ 相对于 $(\nu_m^2)^{\text{SDG}}$ 发生了变化,从而导致了 Q_{40}^{SD} 与 Q_{40}^{SDG} 的不同。

Q_{40}^{SD} 与 Q_{40}^{SDG} 差别很大表明,虽然 X_4 的值很小,但 $\sqrt{\frac{3}{7}} X_4 P_4(m/j)$ 对能级占有率 ν_m^2 的

影响是很大的,这也说明了 G 对的影响是不可忽略的。而 Q^{SDG} 与 Q^{AU} 相近则说明更高 J 对 ($J > 4$) 的影响可以略去。

四、粒子数投影问题

BCS 波函数中粒子数不守恒是该方法的缺陷。作为粒子数不守恒程度之度量,在表 2 中给出了粒子数相对偏差 $\sqrt{\Delta N_0^2}/N_0$ 之值 ($j = \frac{41}{2}, G_0 = 0.2$)。由表 2 可见,核子数越少,相对偏差越大,一般地说,由 BCS 计算所得结果的可靠性就越差。为了解决这个

表 2 粒子数 相对偏差

N_0	6	12	24	38
$\sqrt{\Delta N_0^2}/N_0(\%)$	26.8	18.9	16.0	6.6

问题,粒子数投影的方法被广泛使用。我们采用的是变分后投影方法 (VBP)。相对于变分前投影方法 (VAP) 而言, VBP 比较简单,而其结果仍具有相当的准确性^[14]。表 3 列出了 j 取 $\frac{41}{2}$ 及 G_0 取 0.2 时用 VBP 所得的 Q_{40} 及 Q_{20} 的一些结果,同时也列出了未作粒子数投影的 BCS 方法结果以进行比较。由表 3 可以看出,就基态的 Q_{40} 及 Q_{20} 值而言,BCS 方法和 VBP 方法所得结果是比较接近的。这说明了本文用 BCS 方法所得结论从定性的角度来看是基本可信的。

表 3

计算方法	BCS			BCS + VBP		
	6	8	10	6	8	10
Q_{40}	2.284	2.048	1.567	2.446	2.176	1.652
Q_{20}	4.521	5.481	6.196	4.660	5.643	6.372

五、结论与讨论

本文通过用 BCS 方法对 Q_{40} 及 Q_{20} 随质量数变化的总体规律的计算和分析,可以得到如下的结论:

1. 对关联对稀土区变形核的性质,如 Q_{40} 及 Q_{20} 有很大的影响;对于这个区间的核,对力强度 G 。近似地取为 0.2 是恰当的;

2. 内禀 Cooper 对中,角动量为 4 的核子对 (G 对)的成份,对于物理量如内禀 E_4 特性 (Q_{40}) 有很大的贡献,因而在用核子对来对核结构进行描写时, G 对是不容忽略的,而更高角动量的对可以不考虑。

如前所述,本文所采用的单 j BCS 方法只能反映若干相邻核的平均性质,因而它只能解释物理量随质量数变化的总体规律,无法将计算的结果与真实核素一一对应。如要

对真实核来进行计算,就必须区分质子与中子,同时采用真实的壳模型轨道作为核子轨道,并进行粒子数及角动量的投影.这方面的工作正在进行之中.

参 考 文 献

- [1] T. Ichihara et al., *Phys. Lett.*, **182** (1986), 301.
T. Ichihara et al., *Phys. Rev.*, **C29** (1984), 1228.
- [2] F. Ohtani et al., *Phys. Rev.*, **C28** (1983), 120.
- [3] H. Ogawa et al., *Phys. Rev.*, **C33** (1986), 834.
- [4] G. F. Bertsch, *Phys. Lett.*, **B26**(1968), 130.
- [5] H. C. Wu et al., *Phys. Rev.*, **C38** (1988), 1638.
- [6] R. D. Lawson "Theory of the Nuclear Shell Model" (oxford university press, 1980).
- [7] A. Bohr and B. R. Mottelson, *Physics scripta*, **22** (1980), 468.
- [8] D. R. Bes et al., *Phys. Rev. Lett.*, **48** (1982), 1001.
- [9] E. Maglion et al., *Nucl. Phys.*, **A404** (1983), 333.
- [10] T. Otsuka, A. Arima and F. Iachello, *Nucl. Phys.*, **A309** (1978), 1.
- [11] T. Otsuka et al., *Phys. Rev. Lett.*, **48** (1982), 387.
- [12] A. Bohr and B. R. Mottelson, "Nuclear Structure" (Benjamin, New York, 1975), Vol. 2.
- [13] R. A. Broglia et al., *Phys. Lett.*, **50B** (1974), 213.
- [14] P. Ring and P. Schuck, "The Nuclear Many-Body Problem" (Springer-Verlag, New York, 1980).

A MICROSCOPIC STUDY OF THE E_4 PROPERTY OF DEFORMED EVEN-EVEN NUCLEI IN THE RARE EARTH REGION

WANG ZHEN · WU HUACHUAN

(Department of Physics, Suzhou University)

ABSTRACT

In this paper, BCS method is applied to reproduce the mass-number dependence on the intrinsic *hexadecapole* moments (Q_{40}) of deformed even-even nuclei in the rare earth region, and it is shown that the pair correlation is an important factor for explaining such a dependence. The analysis of the intrinsic Copper-pair shows that the nucleon pairs with angular momentum equal to four (G-pairs) make a considerable contribution to the intrinsic hexadecapole moments although the component of such pairs is small.